

## О ВКЛАДЕ РАЗЛИЧНЫХ ТИПОВ НОСИТЕЛЕЙ ТОКА В ЯВЛЕНИЯ ПЕРЕНОСА В $p$ -InSb

Угрин Ю. О., Шерегий Е. М.

Развит метод аналитического определения концентраций и подвижностей трех сортов носителей (тяжелые и легкие дырки, электроны) в областях дырочной и смешанной проводимости для узкозонных невырожденных полупроводников с большим отношением подвижностей тяжелых и легких носителей по полевым зависимостям коэффициента Холла в импульсном магнитном поле и измерениям электропроводимости. На примере  $p$ -InSb, легированного германием, показано, что в температурном интервале  $77 \div 160$  К вклад легких дырок в коэффициент Холла изменяется от 8 до 3 %, проходя через максимум (53 %) при  $T \sim 100$  К. В электропроводимость — от 0.6 до 3 %, также достигая максимума (4.0 %) при  $T \sim 100$  К. Для интерпретации экспериментальных результатов в области температур  $77 \div 160$  К достаточно корректным является двухзонное приближение (тяжелые и легкие дырки при  $77 \div 100$  К, электроны и тяжелые дырки при  $120 \div 160$  К) с учетом холловского фактора электронов и дырок.

Вопрос об участии легких и тяжелых дырок и электронов в явлениях переноса в узкозонных полупроводниках с большим отношением подвижности легких носителей к подвижности тяжелых обсуждался ранее [1-6]. При этом обычно применялись два подхода: пренебрежение вкладом электронов при определении участия легких и тяжелых дырок в кинетических эффектах в широком температурном интервале [2, 3] или исключение из рассмотрения легких дырок при анализе полевых и температурных зависимостей кинетических коэффициентов [5]. Попытки определить участие всех трех типов носителей путем подбора процентного вклада одного из них (обычно легких дырок [6]) следует признать неудачными из-за неоднозначности решения.

Отметим также, что в этом классе полупроводников определение концентраций и подвижностей носителей из коэффициента Холла, измеренного при фиксированном значении индукции магнитного поля (например, при 10 кЭ [8]), совершенно неправомерно для широкой температурной области, где данное поле может оказаться как сильным, так и слабым по отношению к легким носителям.

Таким образом, остается до сих пор открытым вопрос об удельном участии в явлениях переноса того или иного типа носителей тока в  $p$ -InSb,  $p$ -CdHgTe и др. при температурах  $77 \div 160$  К, соответствующих режиму работы приборов, в которых применяются эти технически важные полупроводники.

В данной работе поставлена задача аналитически определить концентрации, подвижности и холл-фактор указанных трех типов носителей в  $p$ -InSb из оптимального числа измерений экспериментальных величин в температурной области  $77 \div 160$  К и таким путем найти действительный вклад каждого из них в явления переноса.

1. *Выход рабочих формул.* Известно, что зависимость коэффициента Холла [равно как и напряжение Холла  $V_H(B)$  (рис. 1)] от индукции магнитного поля из-за вклада не менее двух типов носителей имеет сложный вид. Эта кривая имеет ряд параметров: точку инверсии знака напряжения Холла  $B_0$ , точку минимума  $B_m$ , асимптотический наклон  $V_H(B)$  в слабом и сильном полях и точку перегиба  $B_{nv}$ . Покажем, как, используя указанные выше параметры кривой  $V_H(B)$ , можно определить концентрации, подвижности и холл-фактор

не менее двух типов носителей, вклад которых существен в данном температурном интервале.

Зависимость коэффициента Холла от индукции магнитного поля в трехзонном приближении можно записать в следующем виде:

$$R_H(B) = \frac{x_1 B^4 + x_2 B^2 + x_3}{x_4 B^4 + x_5 B^2 + e}. \quad (1)$$

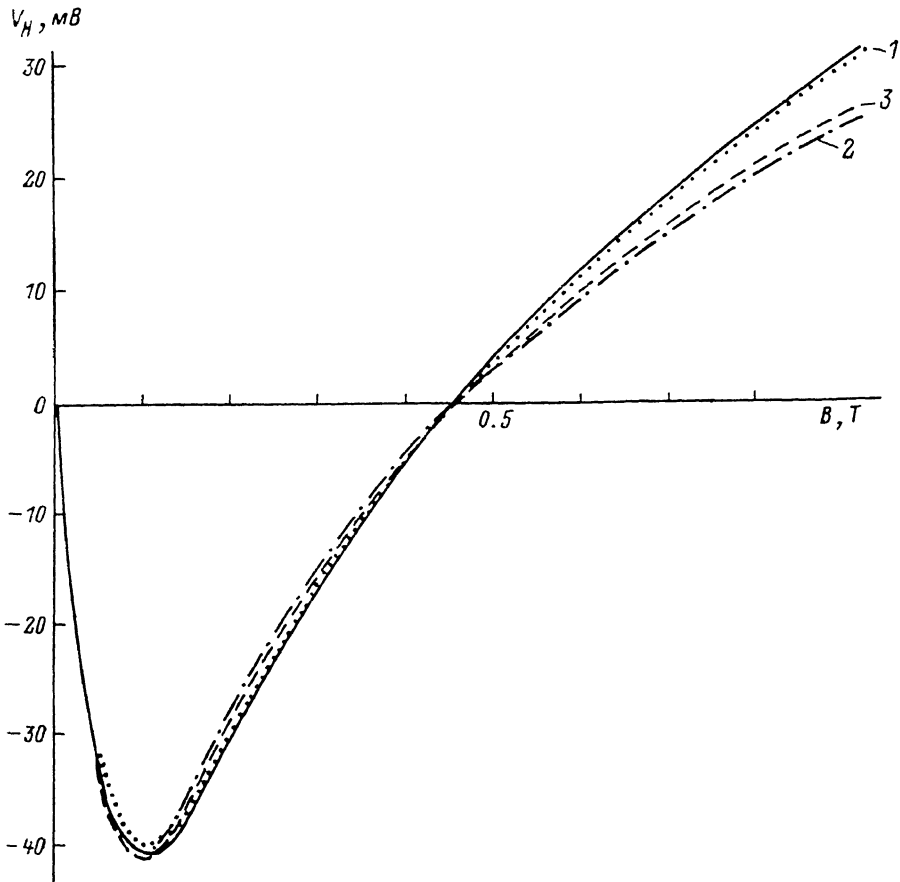


Рис. 1. Зависимость напряжения Холла от магнитного поля при 124 К для образца 1.

Сплошная кривая — эксперимент, 1, 2 — расчет по двухзонной модели (электроны и тяжелые дырки при  $r_H \neq 1$  и  $r_H = 1$  соответственно, 3 — расчет по трехзонной модели.

Здесь  $x_i$  — коэффициенты, зависящие от концентраций и подвижностей носителей тока и связанные с ними соотношениями

$$\begin{aligned} n_2 (u_1 u_2 u_3)^2 &= (\zeta/e)^2 x_1, \\ u_1^2 u_3^2 (n_3 - n_1) + u_2^2 (u_1^2 + u_3^2) n_2 &= (\zeta/e)^2 x_2, \\ -n_1 u_1^2 + n_2 u_2^2 + n_3 u_3^2 &= (\zeta/e)^2 x_3, \\ n_3^2 (u_1 u_2 u_3)^2 &= (\zeta^2/e^3) x_4, \\ (n_3 - n_1)^2 u_1^2 u_3^2 + n_3^2 u_2^2 (u_1^2 + u_3^2) + 2u_1 u_2 u_3 n_2 (n_1 u_3 + n_3 u_1) &= (\zeta^2/e^3) x_5. \end{aligned} \quad (2)$$

Индексы 1, 2, 3 принадлежат соответственно электронам, тяжелым дыркам и легким дыркам.

В (2) сделаны допущения

$$n_1 \ll n_2, \quad n_3 \ll n_2, \quad u_3^2 \ll u_1^2, \quad u_2^2 \ll u_3^2.$$

Для коэффициента Холла в слабых полях  $R_0$  пренебрегаем слагаемыми, содержащими  $B$ , и получим

$$R_0 = x_3/e. \quad (3)$$

В сильных полях пренебрегаем слагаемыми, содержащими  $B^2$ , по сравнению с  $B^4$ . Здесь коэффициент Холла также не зависит от поля и равен

$$R_1 = x_1/x_4. \quad (4)$$

Условие инверсии знака коэффициента Холла имеет вид

$$x_1 B_0^4 + x_2 B_0^2 + x_3 = 0. \quad (5)$$

Продифференцировав зависимость  $V_H(B) = -\frac{I}{d} R_H(B) \cdot B$ , получим условие минимума напряжения Холла

$$B_m^4 (x_1 x_3 - x_2 x_4) - 2 B_m^2 (e x_1 - x_3 x_4) + e x_2 - x_3 x_5 = 0. \quad (6)$$

Наконец, измеряя значение  $R_m = R_H(B_m)$ , получим пятое уравнение для определения коэффициентов  $x_i$ :

$$B_m^4 x_1 + B_m^2 x_2 - B_m^4 R_m x_4 - B_m^2 R_m x_5 = e (R_m - R_0). \quad (7)$$

Определив из (3)–(7)  $x_i$  и добавив к (2) соотношение для электропроводности

$$n_1 u_1 + n_2 u_2 + n_3 u_3 = \sigma/e, \quad (8)$$

однозначно находим величины  $n_1, n_2, n_3, u_1, u_2, u_3$ .

Положим в (2)  $n_3 = 0, u_3 = 0$  (двуухзонное приближение — электроны и тяжелые дырки) и в полученную зависимость (1) включим холл-фактор  $r_H(B)$ :<sup>1</sup>

$$R_H(B) = \frac{1}{e} \frac{r_H(B) (n_2 - n_1 b^2) + r_H^3(B) u_1^2 (n_2 - n_1) B^2}{(n_2 + n_1 b)^2 + r_H^2(B) u_1^2 (n_2 - n_1)^2 B^2}.$$

Продифференцировав эту зависимость дважды по  $B$  и пренебрегая слагаемыми, включающими малую величину  $dr_H(B)/dB$ , получим соотношения, связывающие точки перегиба напряжения и коэффициента Холла с холл-фактором:

$$r_0 = \frac{R_0}{R_1} \frac{\frac{R_{nn}}{B_{nn}} - R_{nv} \frac{B_{nv}}{B_{nn}}}{R_{nv} \frac{B_{nv}}{3B_{nn}} - 3R_{nn}}, \quad r_{nv} = \frac{4r_0 R_{nv}}{3r_0 R_1 + R_0}. \quad (9)$$

Здесь  $B_{nv}$  и  $B_{nn}$  — точки перегиба соответственно  $V_H(B)$  и  $R_H(B)$ ;  $R_{nv}, r_{nv}, R_{nn}$  — коэффициенты Холла и холл-фактор в этих точках.

Для определения параметров легких и тяжелых дырок составляем уравнения, используя, кроме величин  $R_0, R_1, \sigma$ , также и точку перегиба  $B_{nv}$ :

$$R_0 = \frac{r_0 (n_2 - n_1 b^2)}{e (n_2 + n_1 b)}, \quad B_{nv} = \sqrt{3} \frac{n_2 + n_1 b}{r_{nv} n_2 u_1}, \\ R_1 = 1/en_2, \quad \sigma/e = n_2 u_2 + n_1 u_1, \quad (10)$$

где  $b = u_1/u_2$ .

Для двухзонной модели, учитывающей легкие и тяжелые дырки ( $n_1 = 0, u_1 = 0$ ), получим уравнения, аналогичные (9), (10), где вместо  $n_1, u_1$  будет  $n_3, u_3$ , а в числителе первого уравнения из (10)  $n_1$  нужно заменить на  $-n_3$ .

2. *Методика измерений и результаты эксперимента.* Измерения проводились на образцах  $p$ -InSb, легированных германием. Образцы размерами  $1 \times 2 \times 6$  мм вырезались перпендикулярно направлению [111]. Была проконтролирована их однородность по фотоответу методом лазерного сканирования. Отобраны три образца, неоднородность которых не превышала 3 %. Поверхности образцов тщательно обрабатывались перед измерениями травителем СР-4А.

Холловские напряжения осциллографировались в импульсном магнитном поле  $0 \div 20$  Т при токе через образцы  $0.3 \div 1$  мА и температуре  $77 \div 300$  К для двух противоположных направлений магнитного поля и тока. На рис. 1 при-

<sup>1</sup> Для слабого поля холл-факторы электронов и дырок равны [7].

веден пример осцилограммы напряжения Холла, усредненного по двум противоположным направлениям магнитного поля. Точность определения точек  $B_{nv}$ ,  $B_0$  и  $B_m$  составляла 3 %, а величин  $R_0$ ,  $R_1$  — 5 %; относительная точность определения этих величин примерно в 6 раз выше. На рис. 2 показаны зависимости  $R_0$ ,  $R_1$ ,  $B_m$ ,  $B_0$  и  $B_{nv}$  от температуры для образца 1. Аналогичные зависимости получены для двух других образцов. Видно, что коэффициент Холла в сильном поле монотонно убывает с температурой, что соответствует увеличению концентрации тяжелых дырок. Зависимость  $R_0(T)$  имеет более сложный вид: происходит инверсия знака и при 140 К (для образца 1) имеется минимум. Эти зависимости  $R_0(T)$  и  $R_1(T)$ , как и зависимости других величин, вполне могут быть описаны аналитически с помощью формул (10). В частности, положение упомянутого минимума на кривой  $R_0(T)$  определяется условием  $u_1/u_2 = n_2/n_1$  (вклад легких дырок при этой температуре несуществен).

3. Обсуждение результатов. Вычисления проводились с использованием трех приближений, применение которых зависит от температурной области, а точнее, от соотношения концентраций различных типов носителей.

1) Трехзонное приближение имеет смысл в том случае, когда на зависимости  $R_H(B)$  есть инверсия знака, что говорит о существенном участии электронов в эффекте Холла:

Для определения  $n_1$ ,  $n_2$ ,  $n_3$ ,  $u_1$ ,  $u_2$ ,  $u_3$  система уравнений (2)–(8) решалась аналитически с помощью

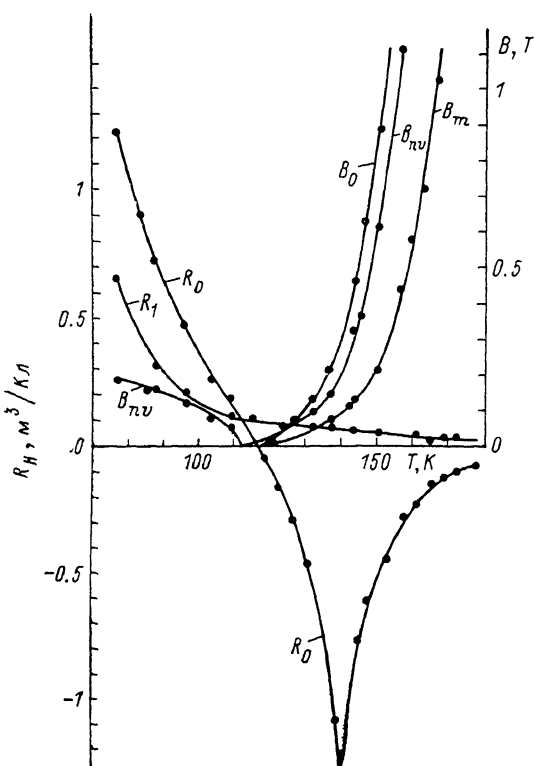


Рис. 2. Температурные зависимости экспериментальных величин.

$B_0$  — точка инверсии коэффициента Холла,  $R_1$ ,  $R_0$  — коэффициенты Холла в сильном и слабом полях,  $B_m$ ,  $B_{nv}$  — точки максимума и перегиба кривой напряжения Холла  $V_H(B)$ .

мини-ЭВМ «Электроника ДЗ-28». Результаты вычислений показаны на рис. 3, 4 (кривые 3).

Путем экстраполяции кривых  $n_1(T)$  и  $n_3(T)$ , полученных в области смешанной проводимости, на область  $T < 100 \div 120$  К легко убедиться в том, что в этом температурном интервале вклад в явления переноса могут осуществлять только дырки обоих сортов.<sup>2</sup>

2) Двухзонное приближение с учетом  $r_H(B)$  (тяжелые и легкие дырки) применялось в области температур  $T < 100 \div 120$  К. Вычисления концентраций, подвижностей и холл-фактора проводились по формулам (9), (10). Результаты вычислений показаны кривыми 1 на рис. 3, 4. Здесь же кривой 2 показаны зависимости  $n_3(T)$  и  $u_3(T)$ , полученные также по двухзонной модели, но в предположении  $r_H=1$ . Видно, что если учет холл-фактора практически не влияет на величину концентраций и подвижностей тяжелых дырок, то изменение параметров легких дырок более чем существенно при введении в расчеты величины  $r_H(B)$ : концентрация изменяется больше чем на порядок при 77 К, а подвижность — в 1.3 раза.

3) Двухзонное приближение (электроны и тяжелые дырки) с учетом холл-

<sup>2</sup> Тот же результат получим при использовании соотношения  $np = n_i^2$ . Зависимость  $n_i(T)$  получена теоретически с учетом температурных зависимостей  $m_s^*(T)$  и  $E_g(T)$  [8].

фактора проводилось в области температур от  $100\text{--}120$  до  $160\text{ K}$ , т. е. там же, где трехзонное приближение.

Вычисления по формулам (9), (10) приведены на рис. 3, 4 (кривые 1). Результаты вычислений при  $r_H=1$  показаны кривыми 2. Видно, что, как и в предыдущем случае, привлечение к расчетам холл-фактора привело к изменению параметров только легких носителей.

Зависимости  $n_2(T)$ , полученные в трех- и двухзонном приближениях, хорошо «спиваются», как это видно на рис. 3. Относительно легких дырок можно предположить, что по аналогии с двухзонным приближением учет  $r_H(B)$  в трехзонной модели привел бы к уменьшению их концентраций и подвижностей. В этом случае кривые  $n_3(T)$  и  $u_3(T)$ , полученные в трех- и двухзонном приближении при  $r_H(B)\neq 1$ , согласовались бы лучше.

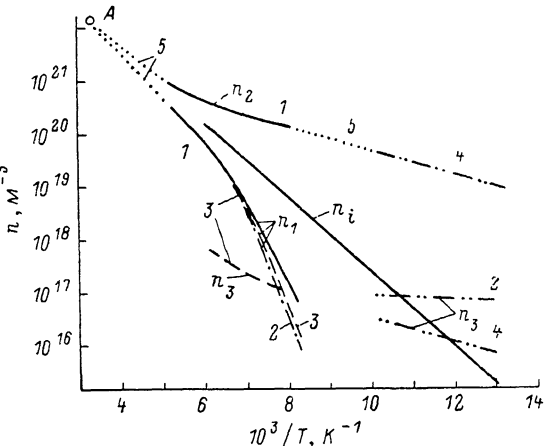


Рис. 3. Температурные зависимости концентраций электронов ( $n_1$ ), тяжелых ( $n_2$ ) и легких ( $n_3$ ) дырок. 1, 2 — двухзонное приближение (электроны и тяжелые дырки) при  $r_H \neq 1$  и  $r_H=1$ ; 3 — трехзональное приближение при  $r_H=1$ ; 4 — двухзонное приближение (легкие и тяжелые дырки) при  $r_H \neq 1$ ; 5 — интерполяции между двумя областями температур;  $A$  — измеренное значение собственной концентрации при  $300\text{ K}$ ;  $n_i$  — теоретическая зависимость собственной концентрации от температуры.

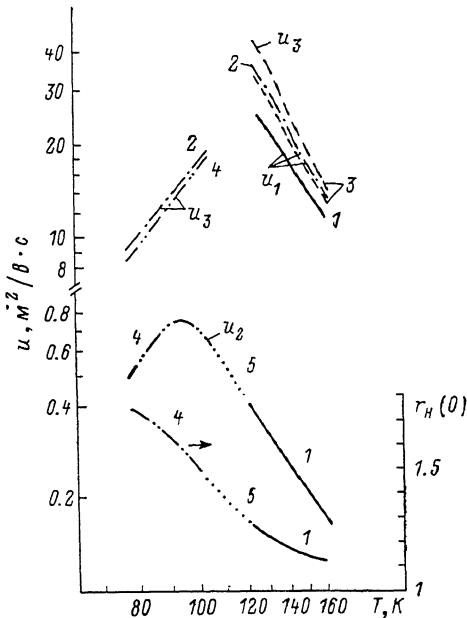


Рис. 4. Зависимости подвижности носителей тока и холл-фактора от температуры.

Обозначения те же, что и на рис. 3; зависимости  $u_1(T)$ ,  $u_2(T)$ ,  $u_3(T)$  при  $T > 120\text{ K}$  близки к  $u \sim T^{-1/2}$ .

Из рис. 1 видно, что лучше согласуется с экспериментальной кривой расчетная зависимость, полученная в рамках приближения п. 3. На рис. 4 показана зависимость  $r_H(0)$  от температуры, рассчитанная по формуле (9) на основании экспериментальных данных для образца 1. Видно, что в этой температурной области происходит изменение доминирующего механизма рассеяния носителей тока. Действительно, достаточно корректно вычисленные температурные зависимости подвижности тяжелых дырок для трех образцов имеют максимум при  $90\text{ K}$ .

Оценим вклад различных типов носителей в проводимость и эффект Холла в слабом поле.<sup>3</sup> Для  $77\text{ K}$  расчет дает: вклад легких дырок в проводимость  $0.6\%$ , в эффект Холла —  $8\%$  (вклад электронов практически отсутствует). С увеличением температуры до  $100\text{ K}$  вклад легких дырок возрастает соответственно до  $3.5$  и  $53\%$ . При  $140\text{--}160\text{ K}$  вклад легких дырок в проводимость  $2\text{--}3\%$  и в эффект Холла  $3\text{--}4\%$ ; вклад электронов соответственно  $70\text{--}80$  и  $95\text{--}96\%$ ; вклад тяжелых дырок в проводимость  $17\text{--}18\%$ , а в эффект Холла (слабое поле) практически отсутствует.

<sup>3</sup> Очевидно, что в эффект Холла в сильном поле (по критерию сильного поля для легких носителей) основной вклад всегда будут вносить тяжелые дырки.

Сложнее обстоит дело с вкладом различных типов носителей при промежуточных температурах ( $100 \div 140$  К).

Поскольку величины концентраций и подвижностей легких дырок, полученные в рамках трехзонной модели, завышены в связи с приближением  $r_H = 1$ , то ответ на вопрос о действительном вкладе легких дырок в явления переноса при  $100 \div 140$  К могут дать вычисления по трехзонной модели с учетом холлфактора. Однако, исходя из полученных нами данных, можно утверждать, что в температурном интервале  $90 \div 100$  К в  $p$ -InSb вклад легких дырок в явления переноса достигает максимума.

Таким образом, предложенный нами метод определения концентраций и подвижностей трех типов носителей позволил оценить вклад каждого из них в явления переноса в  $p$ -InSb в интервале температур  $77 \div 160$  К. При этом выявлена сложная температурная динамика вклада этих трех типов носителей в кинетические коэффициенты. В частности, вклад легких дырок в исследованном интервале изменяется на порядок.

Авторы признательны Р. В. Парфеньеву и Д. В. Машовцу за обсуждение работы и ценные замечания.

#### Л и т е р а т у р а

- [1] Маделунг О. Физика полупроводниковых соединений элементов III и V групп. М., 1967. 477 с.
- [2] Ланг И. Г., Павлов С. Т., Тамарин П. В. — ФТТ, 1971, т. 13, в. 12, с. 3654—3662.
- [3] Тамарин П. В., Шалыт С. С., Ланг И. Г., Павлов С. Т. — ФТТ, 1972, т. 14, в. 1, с. 60—72.
- [4] Баев И., Джерахов Н. — Годишник на выпете учебни заведения техническа физика, 1981, т. 18 (82), в. 2, с. 123—130; Baev J. A. — Bulg. J. Phys., 1983, v. 10, N 4, p. 423—429.
- [5] Городилов Н. А., Нейфельд Э. А., Харус Г. И., Цидильковский И. М. — ФТП, 1980, т. 14, в. 12, с. 2357—2365.
- [6] Мельш М. И., Сидорчук П. Г., Жмурко И. С., Цюцюра Д. И. — ФТП, 1972, т. 6, в. 1, с. 212—214.
- [7] Аскеров Б. М. Электронные явления переноса в полупроводниках. М., 1985. 318 с.
- [8] Лешко О. М., Шерегий Е. М. — ФТП, 1987, т. 21, в. 4, с. 694—699.

Дрогобычский государственный  
педагогический институт им. И. Я. Франко

Получена 27.10.1987  
Принята к печати 1.02.1988